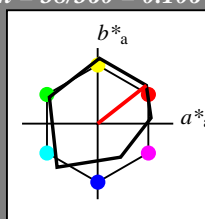


Eingabe: Farbmatisches Offset-Reflektiv-System ORS18

für Buntton $h^* = lab^*h = 38/360 = 0.106$
 lab^*tch und lab^*nch

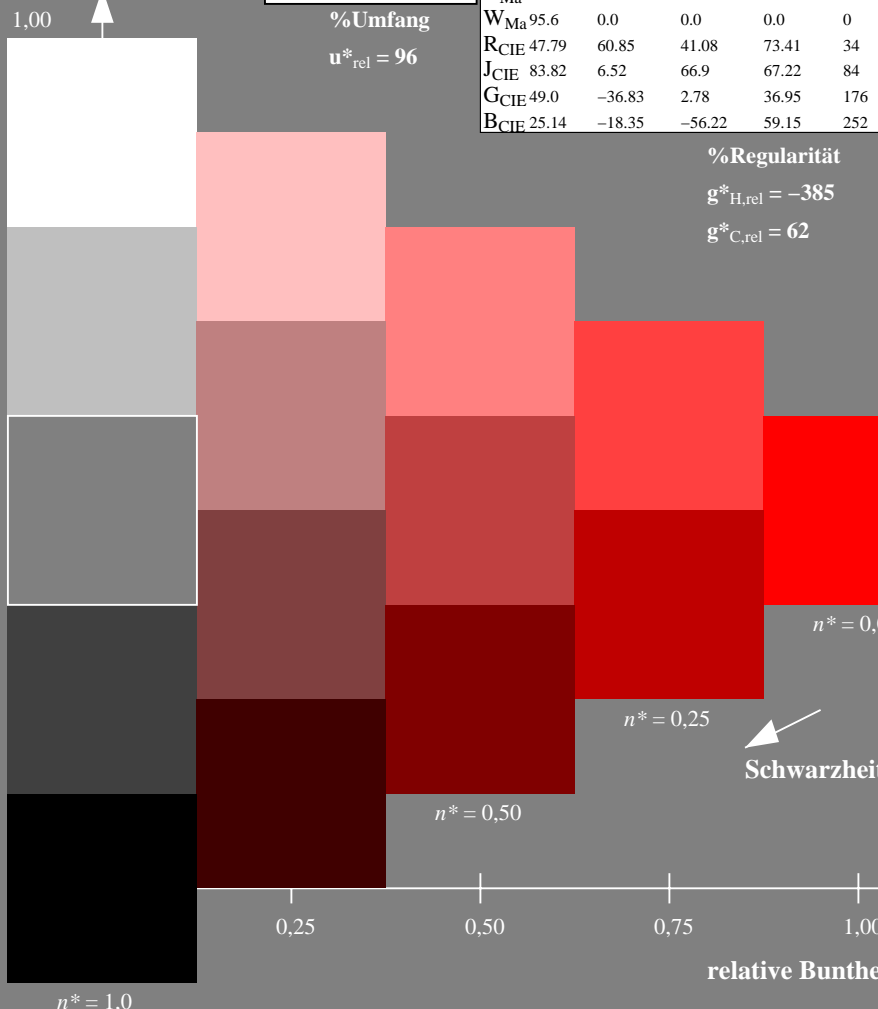
A: Buntton O
 LCH*Ma: 48 82 38
 olv*Ma: 1.0 0.0 0.0

Dreiecks-Helligkeit



%Umfang

$u^*_{rel} = 96$



ORS18; adaptierte CIELAB-Daten

	$L^* = L^*_a$	a^*_a	b^*_a	$C^*_{ab,a}$	$h^*_{ab,a}$
O _{Ma}	47.94	64.42	50.58	81.9	38
Y _{Ma}	92.62	2.41	86.36	86.39	88
L _{Ma}	50.9	-63.82	35.02	72.81	151
C _{Ma}	51.25	-53.68	-57.69	78.82	227
V _{Ma}	25.72	30.34	-44.37	53.76	304
M _{Ma}	56.25	70.59	7.57	70.99	6
N _{Ma}	18.11	0.0	0.0	0.0	0
W _{Ma}	95.6	0.0	0.0	0.0	0
R _{CIE}	47.79	60.85	41.08	73.41	34
J _{CIE}	83.82	6.52	66.9	67.22	84
G _{CIE}	49.0	-36.83	2.78	36.95	176
B _{CIE}	25.14	-18.35	-56.22	59.15	252

%Regularität

$g^*_{H,rel} = -385$

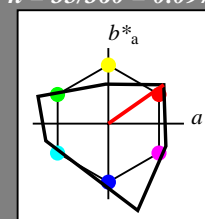
$g^*_{C,rel} = 62$

Ausgabe: Farbmatisches Fernseh-Licht-System TLS00

für Buntton $h^* = lab^*h = 35/360 = 0.097$
 lab^*tch und lab^*nch

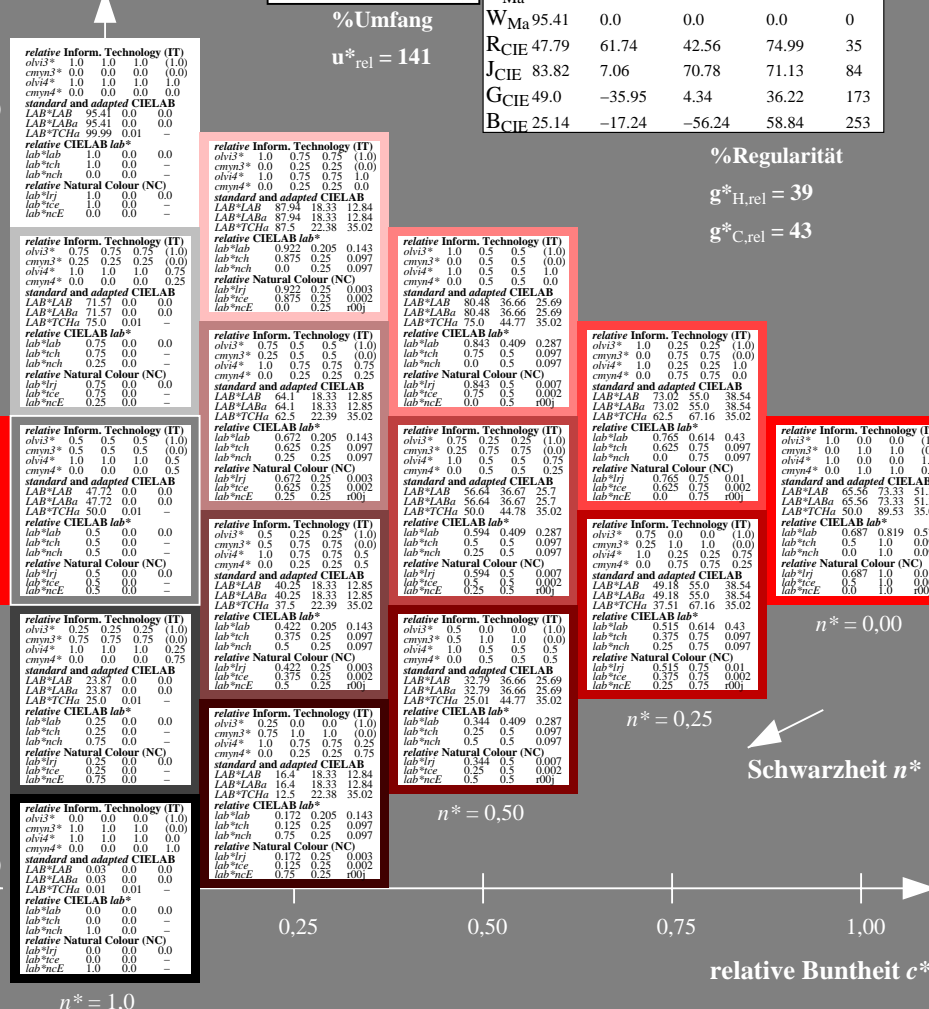
A: Buntton O
 LCH*Ma: 66 90 35
 olv*Ma: 1.0 0.0 0.0

Dreiecks-Helligkeit



%Umfang

$u^*_{rel} = 141$



TLS00; adaptierte CIELAB-Daten

	$L^* = L^*_a$	a^*_a	b^*_a	$C^*_{ab,a}$	$h^*_{ab,a}$
O _{Ma}	65.56	73.34	51.39	89.55	35
Y _{Ma}	94.78	-3.49	52.24	52.36	94
L _{Ma}	74.48	-92.97	36.0	93.71	159
C _{Ma}	78.36	-82.69	-22.74	85.77	195
V _{Ma}	12.55	38.81	-114.81	121.2	289
M _{Ma}	66.71	76.08	-29.8	81.71	339
N _{Ma}	0.01	0.0	0.0	0.0	0
W _{Ma}	95.41	0.0	0.0	0.0	0
R _{CIE}	47.79	61.74	42.56	74.99	35
J _{CIE}	83.82	7.06	70.78	71.13	84
G _{CIE}	49.0	-35.95	4.34	36.22	173
B _{CIE}	25.14	-17.24	-56.24	58.84	253

%Regularität

$g^*_{H,rel} = 39$

$g^*_{C,rel} = 43$

RG400-7, 5stufige Reihen für konstanten CIELAB Buntton 38/360 = 0.106 (links)

5 stufige Reihen für konstanten CIELAB Buntton 35/360 = 0.097 (rechts)

BAM-Prüfvorlage RG40; Farbmatrik-Systeme ORS18 & TLS00 input: olv* setrgbcolor

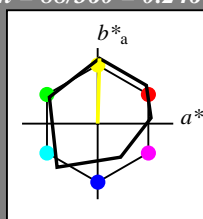
A: 5stufige Farbreihen und Koordinatendaten für 10 Bunttöne output: no change compared to input

Eingabe: Farbmetrisches Offset-Reflektiv-System ORS18

für Buntton $h^* = lab^*h = 88/360 = 0.246$
 lab^*tch und lab^*nch

A: Buntton Y
 LCH*Ma: 93 86 88
 olv*Ma: 1.0 1.0 0.0

Dreiecks-Helligkeit



ORS18; adaptierte CIELAB-Daten

	$L^* = L^*_a$	a^*_a	b^*_a	$C^*_{ab,a}$	$h^*_{ab,a}$
O _{Ma}	47.94	64.42	50.58	81.9	38
Y _{Ma}	92.62	2.41	86.36	86.39	88
L _{Ma}	50.9	-63.82	35.02	72.81	151
C _{Ma}	51.25	-53.68	-57.69	78.82	227
V _{Ma}	25.72	30.34	-44.37	53.76	304
M _{Ma}	56.25	70.59	7.57	70.99	6
N _{Ma}	18.11	0.0	0.0	0.0	0
W _{Ma}	95.6	0.0	0.0	0.0	0
R _{CIE}	47.79	60.85	41.08	73.41	34
J _{CIE}	83.82	6.52	66.9	67.22	84
G _{CIE}	49.0	-36.83	2.78	36.95	176
B _{CIE}	25.14	-18.35	-56.22	59.15	252

%Regularität

$g^*_{H,rel} = -385$

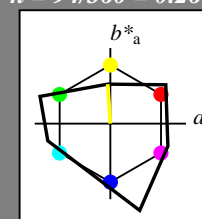
$g^*_{C,rel} = 62$

Ausgabe: Farbmetrisches Fernseh-Licht-System TLS00

für Buntton $h^* = lab^*h = 94/360 = 0.261$
 lab^*tch und lab^*nch

A: Buntton Y
 LCH*Ma: 95 52 94
 olv*Ma: 1.0 1.0 0.0

Dreiecks-Helligkeit



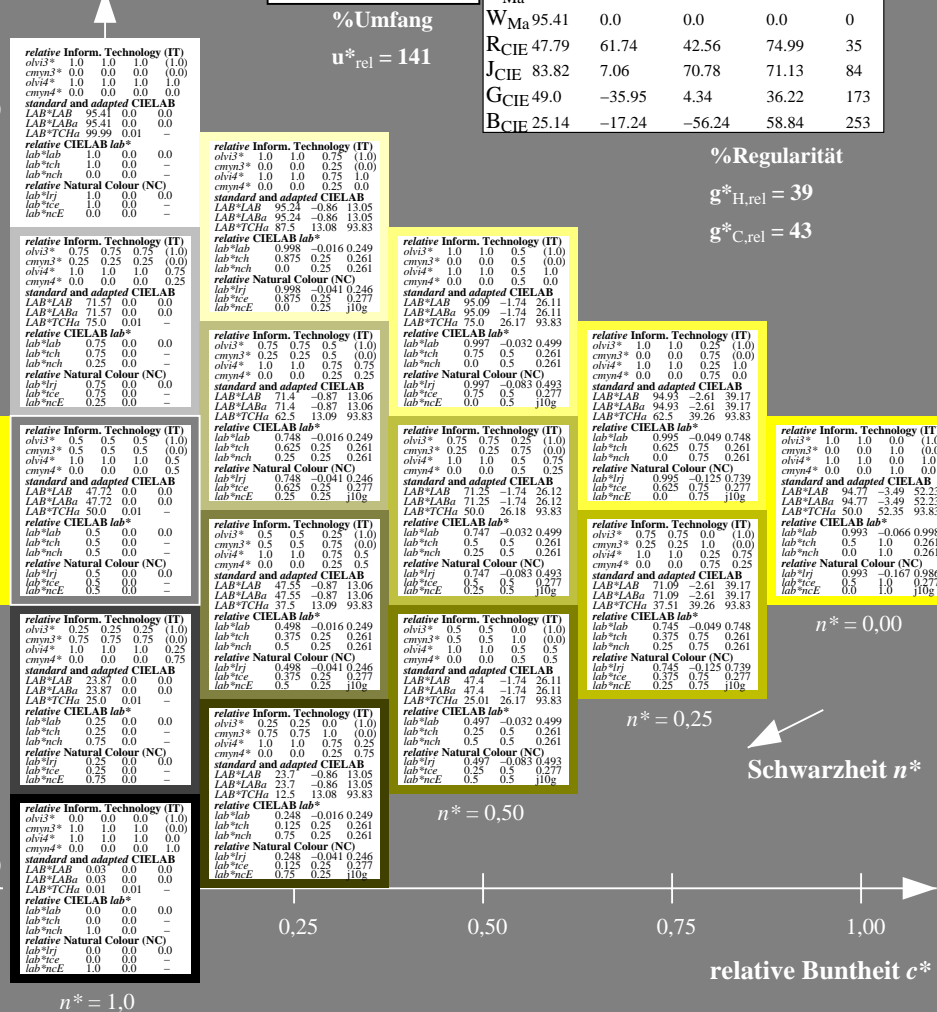
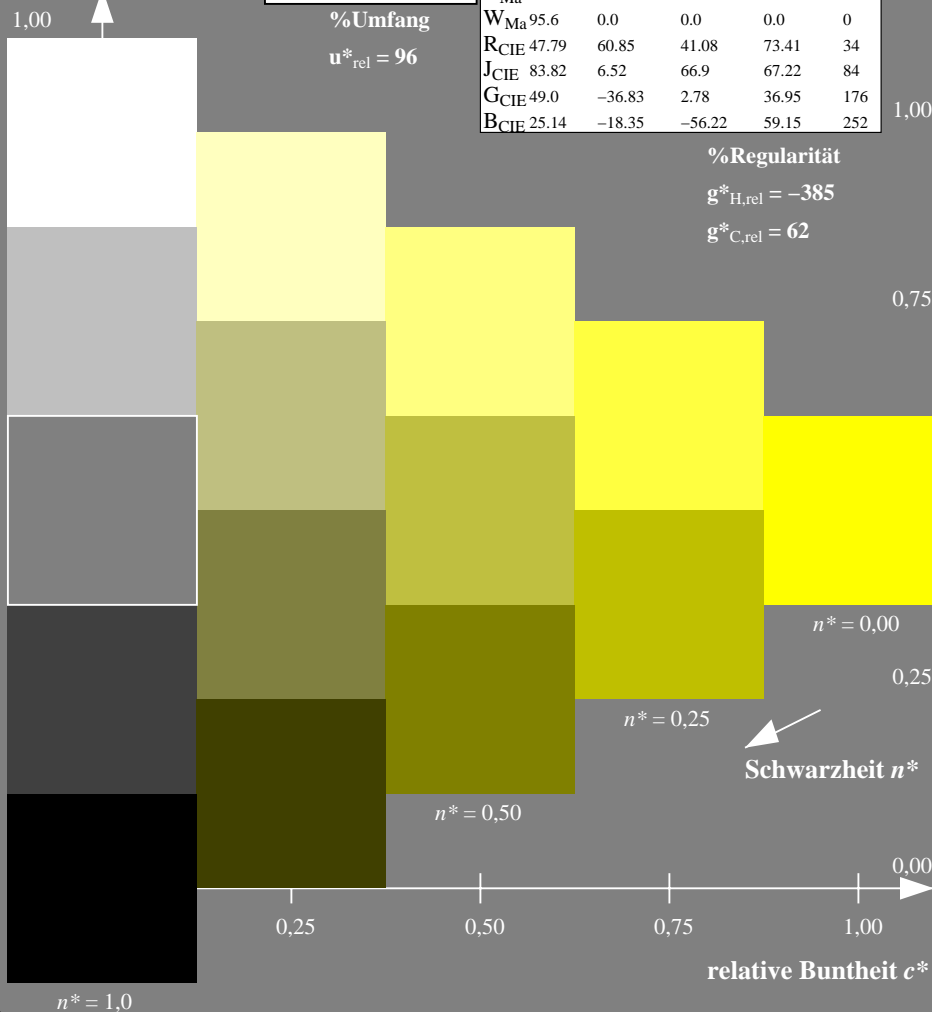
TLS00; adaptierte CIELAB-Daten

	$L^* = L^*_a$	a^*_a	b^*_a	$C^*_{ab,a}$	$h^*_{ab,a}$
O _{Ma}	65.56	73.34	51.39	89.55	35
Y _{Ma}	94.78	-3.49	52.24	52.36	94
L _{Ma}	74.48	-92.97	36.0	99.71	159
C _{Ma}	78.36	-82.69	-22.74	85.77	195
V _{Ma}	12.55	38.81	-114.81	121.2	289
M _{Ma}	66.71	76.08	-29.8	81.71	339
N _{Ma}	0.01	0.0	0.0	0.0	0
W _{Ma}	95.41	0.0	0.0	0.0	0
R _{CIE}	47.79	61.74	42.56	74.99	35
J _{CIE}	83.82	7.06	70.78	71.13	84
G _{CIE}	49.0	-35.95	4.34	36.22	173
B _{CIE}	25.14	-17.24	-56.24	58.84	253

%Regularität

$g^*_{H,rel} = 39$

$g^*_{C,rel} = 43$



RG400-7, 5stufige Reihen für konstanten CIELAB Buntton $88/360 = 0.246$ (links)

5stufige Reihen für konstanten CIELAB Buntton $94/360 = 0.261$ (rechts)

BAM-Prüfvorlage RG40; Farbmetrik-Systeme ORS18 & TLS00 input: olv* setrgbcolor

A: 5stufige Farbreihen und Koordinatendaten für 10 Bunttöne output: no change compared to input

Siehe ähnliche Dateien: <http://www.ps.bam.de/RG40/>
 Technische Information: <http://www.ps.bam.de/Version 2.1, io=1,1>

BAM-Registrierung: 20060101-RG40/10L/L40G01NP.PS/.PDF BAM-Material: Code=rhakta
 Anwendung für Beurteilung und Messung von Drucker- oder Monitorssystemen

RG40/ Form 2/10, Serie: 1/1, Seite: 2

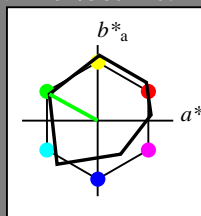
Schwarzung 2

Eingabe: Farbmetrisches Offset-Reflektiv-System ORS18

für Buntton $h^* = lab^*h = 151/360 = 0.42$
 lab^*tch und lab^*nch

A: Buntton L
 LCH*Ma: 51 73 151
 olv*Ma: 0.0 1.0 0.0

Dreiecks-Helligkeit



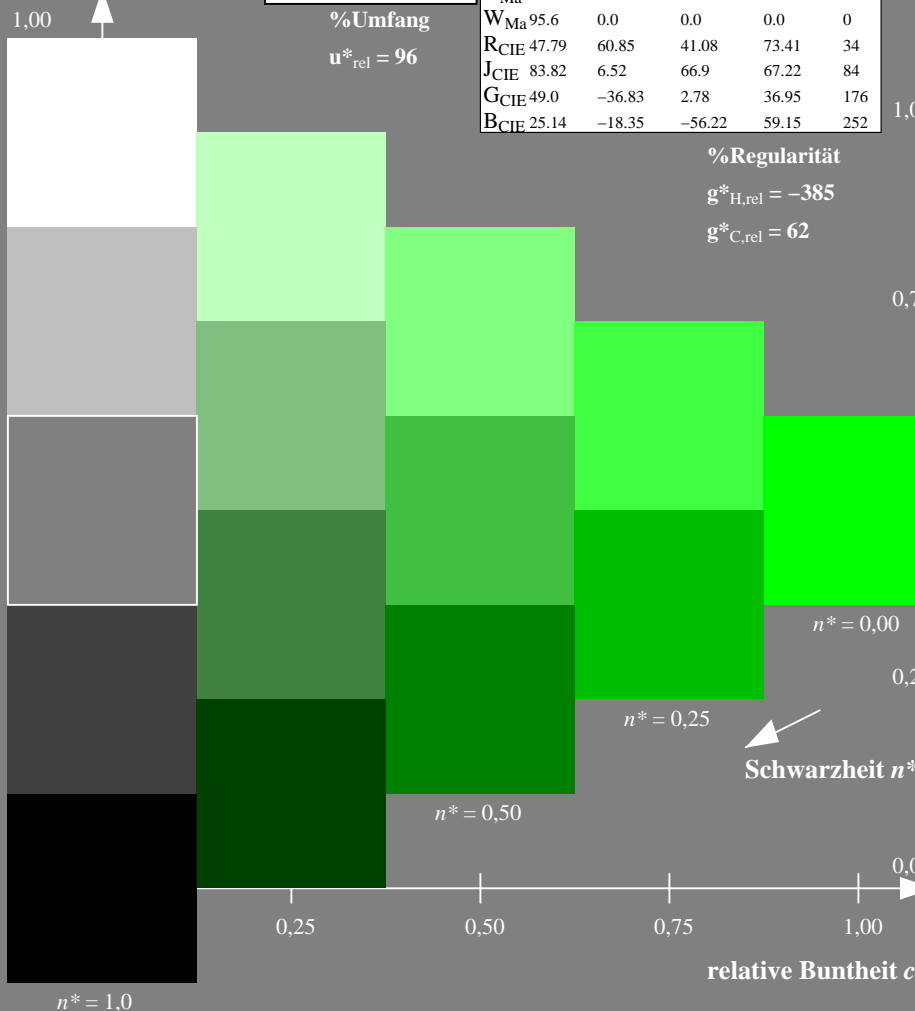
ORS18; adaptierte CIELAB-Daten

	$L^* = L^*_a$	a^*_a	b^*_a	$C^*_{ab,a}$	$h^*_{ab,a}$
O _{Ma}	47.94	64.42	50.58	81.9	38
Y _{Ma}	92.62	2.41	86.36	86.39	88
L _{Ma}	50.9	-63.82	35.02	72.81	151
C _{Ma}	51.25	-53.68	-57.69	78.82	227
V _{Ma}	25.72	30.34	-44.37	53.76	304
M _{Ma}	56.25	70.59	7.57	70.99	6
N _{Ma}	18.11	0.0	0.0	0.0	0
W _{Ma}	95.6	0.0	0.0	0.0	0
R _{CIE}	47.79	60.85	41.08	73.41	34
J _{CIE}	83.82	6.52	66.9	67.22	84
G _{CIE}	49.0	-36.83	2.78	36.95	176
B _{CIE}	25.14	-18.35	-56.22	59.15	252

%Regularität

$g^*_{H,rel} = -385$

$g^*_{C,rel} = 62$

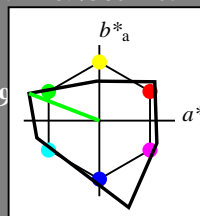


Ausgabe: Farbmetrisches Fernseh-Licht-System TLS00

für Buntton $h^* = lab^*h = 159/360 = 0.441$
 lab^*tch und lab^*nch

A: Buntton L
 LCH*Ma: 77 100 159
 olv*Ma: 0.0 1.0 0.0

Dreiecks-Helligkeit



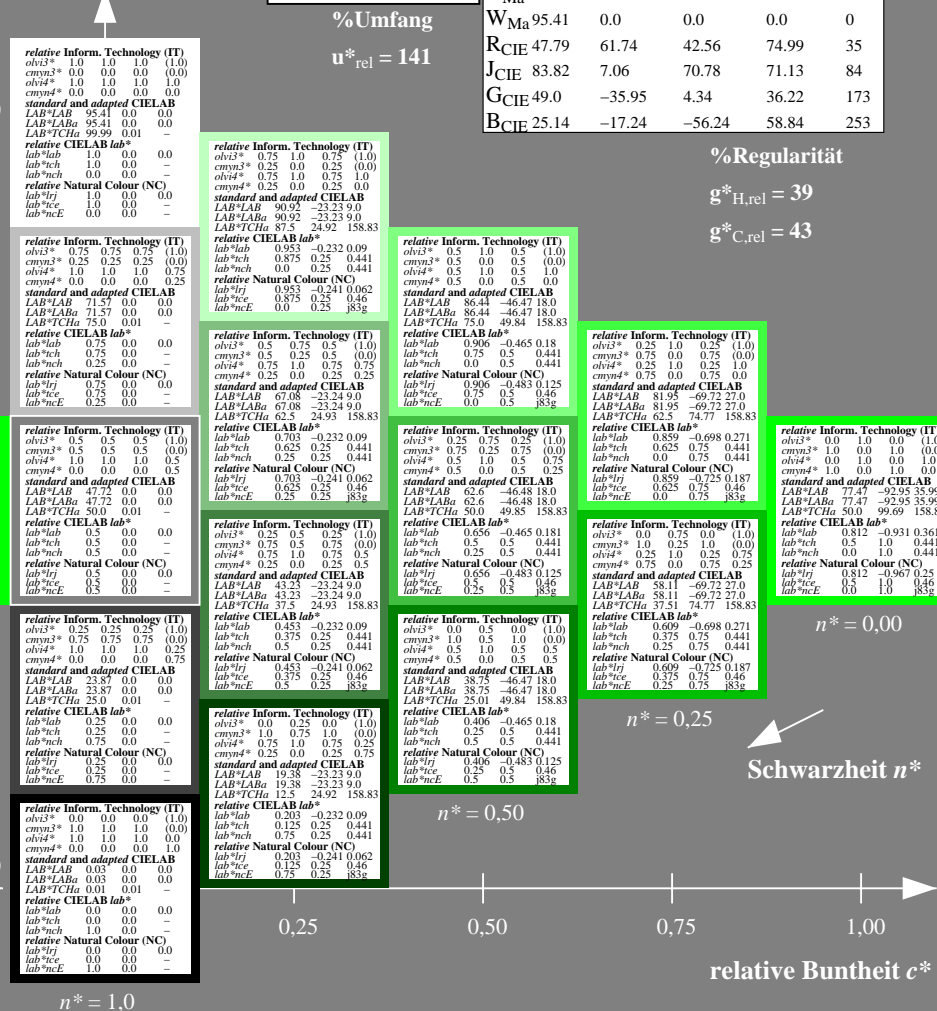
TLS00; adaptierte CIELAB-Daten

	$L^* = L^*_a$	a^*_a	b^*_a	$C^*_{ab,a}$	$h^*_{ab,a}$
O _{Ma}	65.56	73.34	51.39	89.55	35
Y _{Ma}	94.78	-3.49	52.24	52.36	94
L _{Ma}	77.48	-92.97	36.0	99.71	159
C _{Ma}	78.36	-82.69	-22.74	85.77	195
V _{Ma}	12.55	38.81	-114.81	121.2	289
M _{Ma}	66.71	76.08	-29.8	81.71	339
N _{Ma}	0.01	0.0	0.0	0.0	0
W _{Ma}	95.41	0.0	0.0	0.0	0
R _{CIE}	47.79	61.74	42.56	74.99	35
J _{CIE}	83.82	7.06	70.78	71.13	84
G _{CIE}	49.0	-35.95	4.34	36.22	173
B _{CIE}	25.14	-17.24	-56.24	58.84	253

%Regularität

$g^*_{H,rel} = 39$

$g^*_{C,rel} = 43$



RG400-7, 5stufige Reihen für konstanten CIELAB Buntton 151/360 = 0.42 (links)

5stufige Reihen für konstanten CIELAB Buntton 159/360 = 0.441 (rechts)

BAM-Prüfvorlage RG40; Farbmetrik-Systeme ORS18 & TLS00 input: olv* setrgbcolor

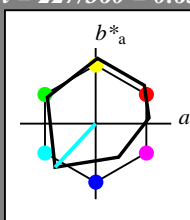
A: 5stufige Farbreihen und Koordinatendaten für 10 Bunttöne output: no change compared to input

Eingabe: Farbmetrisches Offset-Reflektiv-System ORS18

für Buntton $h^* = lab^*h = 227/360 = 0.631$
 lab^*tch und lab^*nch

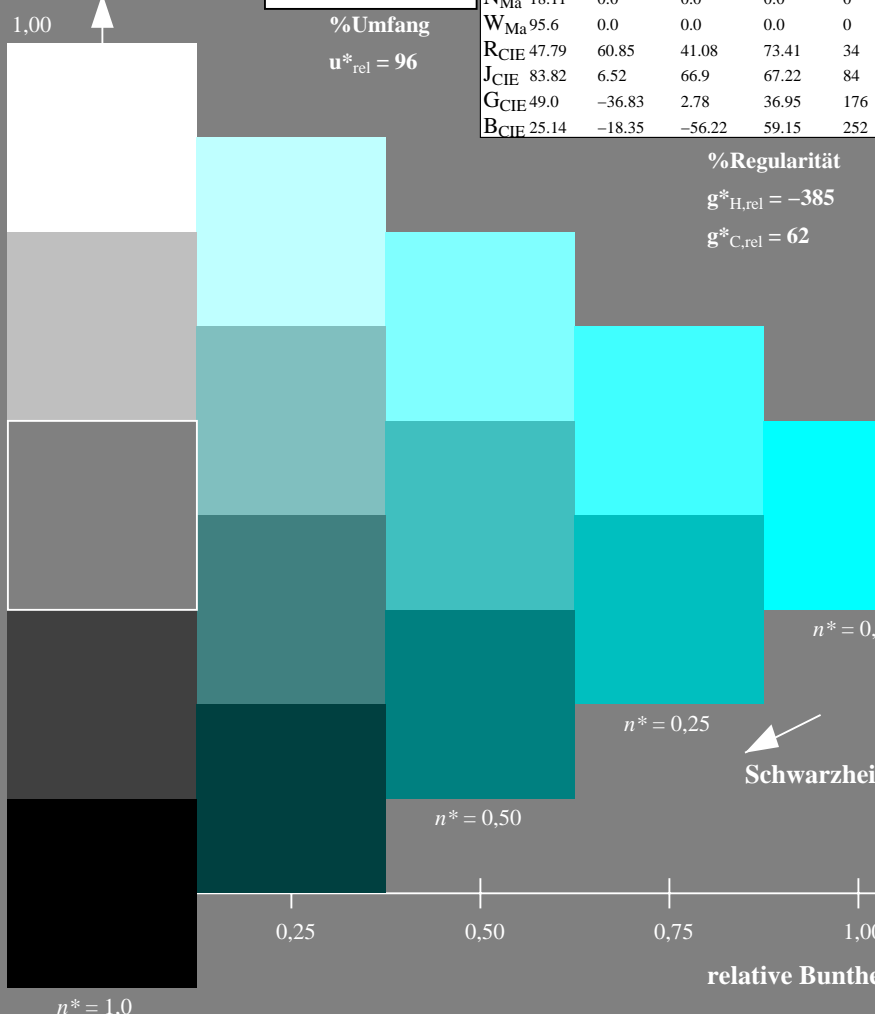
A: Buntton C
 LCH*Ma: 51 79 227
 olv*Ma: 0.0 1.0 1.0

Dreiecks-Helligkeit



%Umfang

$u^*_{rel} = 96$



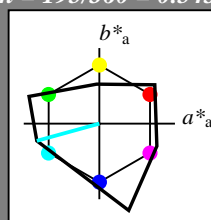
RG400-7, 5stufige Reihen für konstanten CIELAB Buntton 227/360 = 0.631 (links)

Ausgabe: Farbmetrisches Fernseh-Licht-System TLS00

für Buntton $h^* = lab^*h = 195/360 = 0.543$
 lab^*tch und lab^*nch

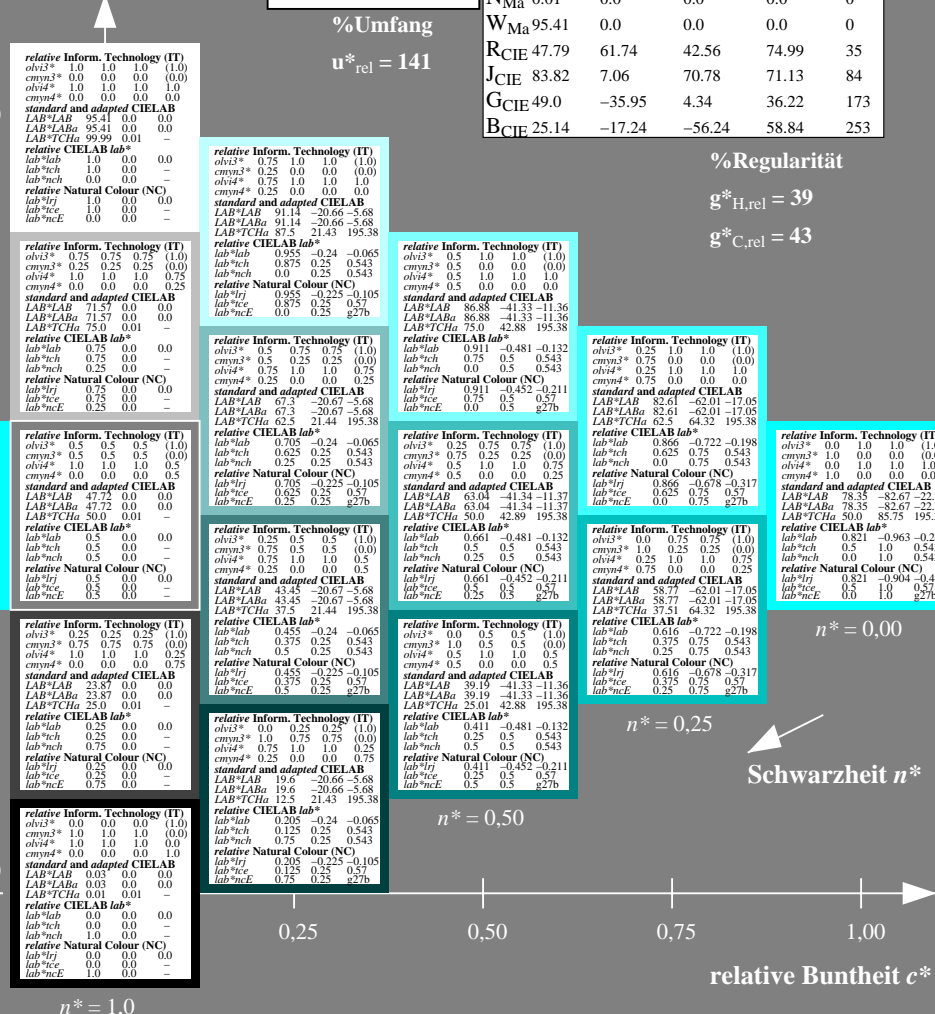
A: Buntton C
 LCH*Ma: 78 86 195
 olv*Ma: 0.0 1.0 1.0

Dreiecks-Helligkeit



%Umfang

$u^*_{rel} = 141$



5stufige Reihen für konstanten CIELAB Buntton 195/360 = 0.543 (rechts)

BAM-Prüfvorlage RG40; Farbmetrik-Systeme ORS18 & TLS00 input: *olv* setrgbcolor*

A: 5stufige Farbreihen und Koordinatendaten für 10 Bunttöne output: *no change compared to input*

ORS18; adaptierte CIELAB-Daten

	$L^* = L^*_a$	a^*_a	b^*_a	$C^*_{ab,a}$	$h^*_{ab,a}$
O _{Ma}	47.94	64.42	50.58	81.9	38
Y _{Ma}	92.62	2.41	86.36	86.39	88
L _{Ma}	50.9	-63.82	35.02	72.81	151
C _{Ma}	51.25	-53.68	-57.69	78.82	227
V _{Ma}	25.72	30.34	-44.37	53.76	304
M _{Ma}	56.25	70.59	7.57	70.99	6
N _{Ma}	18.11	0.0	0.0	0.0	0
W _{Ma}	95.6	0.0	0.0	0.0	0
R _{CIE}	47.79	60.85	41.08	73.41	34
J _{CIE}	83.82	6.52	66.9	67.22	84
G _{CIE}	49.0	-36.83	2.78	36.95	176
B _{CIE}	25.14	-18.35	-56.22	59.15	252

TLS00; adaptierte CIELAB-Daten

	$L^* = L^*_a$	a^*_a	b^*_a	$C^*_{ab,a}$	$h^*_{ab,a}$
O _{Ma}	65.56	73.34	51.39	89.55	35
Y _{Ma}	94.78	-3.49	52.24	52.36	94
L _{Ma}	77.48	-92.97	36.0	99.71	159
C _{Ma}	78.36	-82.69	-22.74	85.77	195
V _{Ma}	12.55	38.81	-114.81	121.2	289
M _{Ma}	66.71	76.08	-29.8	81.71	339
N _{Ma}	0.01	0.0	0.0	0.0	0
W _{Ma}	95.41	0.0	0.0	0.0	0
R _{CIE}	47.79	61.74	42.56	74.99	35
J _{CIE}	83.82	7.06	70.78	71.13	84
G _{CIE}	49.0	-35.95	4.34	36.22	173
B _{CIE}	25.14	-17.24	-56.24	58.84	253

%Regularität

$g^*_{H,rel} = -385$
 $g^*_{C,rel} = 62$

relative Inform. Technology (IT)

obv3*	1.0	1.0	1.0	(1.0)
cmv3*	0.0	0.0	0.0	(0.0)
olv4*	1.0	1.0	1.0	1.0
cmv4*	0.0	0.0	0.0	0.0

standard and adapted CIELAB

LAB*LAB	95.41	0.0	0.0
LAB*LABa	95.41	0.0	0.0
LAB*TCha	99.99	0.01	-

relative CIELAB lab*

lab*lab	1.0	0.0	0.0
lab*nch	1.0	0.0	-
lab*tch	0.0	0.0	-

relative Natural Colour (NC)

lab*ljr	1.0	0.0	0.0
lab*tce	1.0	0.0	-
lab*nce	0.0	0.0	-

%Regularität

$g^*_{H,rel} = 39$
 $g^*_{C,rel} = 43$

relative Inform. Technology (IT)

obv3*	0.75	0.75	0.75	(1.0)
cmv3*	0.25	0.25	0.25	(0.0)
olv4*	1.0	1.0	1.0	0.75
cmv4*	0.0	0.0	0.0	0.25

standard and adapted CIELAB

LAB*LAB	71.57	0.0	0.0
LAB*LABa	71.57	0.0	0.0
LAB*TCha	75.0	0.01	-

relative CIELAB lab*

lab*lab	0.75	0.0	0.0
lab*nch	0.75	0.0	-
lab*tch	0.25	0.0	-

relative Natural Colour (NC)

lab*ljr	0.75	0.0	0.0
lab*tce	0.75	0.0	-
lab*nce	0.25	0.0	-

relative Inform. Technology (IT)

obv3*	0.5	1.0	1.0	(1.0)
cmv3*	0.5	0.0	0.0	(0.0)
olv4*	0.5	1.0	1.0	1.0
cmv4*	0.5	0.0	0.0	0.0

standard and adapted CIELAB

LAB*LAB	86.88	-41.33	-11.36
LAB*LABa	86.88	-41.33	-11.36
LAB*TCha	75.0	42.88	195.38

relative CIELAB lab*

lab*lab	0.911	-0.481	-0.132
lab*nch	0.75	0.5	0.543
lab*tch	0.0	0.5	0.543

relative Natural Colour (NC)

lab*ljr	0.911	-0.452	-0.211
lab*tce	0.75	0.5	0.57
lab*nce	0.0	0.5	0.276

relative Inform. Technology (IT)

obv3*	0.5	0.75	0.75	(1.0)
cmv3*	0.5	0.25	0.25	(0.0)
olv4*	0.75	1.0	1.0	0.75
cmv4*	0.0	0.0	0.0	0.25

standard and adapted CIELAB

LAB*LAB	67.3	-20.67	-5.68
LAB*LABa	67.3	-20.67	-5.68
LAB*TCha	62.5	21.44	195.38

relative CIELAB lab*

lab*lab	0.705	-0.24	-0.065
lab*nch	0.625	0.25	0.543
lab*tch	0.25	0.25	0.543

relative Natural Colour (NC)

lab*ljr	0.705	-0.225	-0.105
lab*tce	0.625	0.25	0.57
lab*nce	0.25	0.25	0.276

relative Inform. Technology (IT)

obv3*	0.25	0.75	0.75	(1.0)
cmv3*	0.75	0.25	0.25	(0.0)
olv4*	0.5	1.0	1.0	0.75
cmv4*	0.5	0.0	0.0	0.25

standard and adapted CIELAB

LAB*LAB	63.04	-41.34	-11.37
LAB*LABa	63.04	-41.34	-11.37
LAB*TCha	50.0	42.89	195.38

relative CIELAB lab*

lab*lab	0.911	-0.481	-0.132
lab*nch	0.5	0.5	0.543
lab*tch	0.0	0.5	0.543

relative Natural Colour (NC)

lab*ljr	0.911	-0.452	-0.211
lab*tce	0.625	0.25	0.57
lab*nce	0.0	0.5	0.276

relative Inform. Technology (IT)

obv3*	0.5	0.5	0.5	(1.0)
cmv3*	0.5	0.5	0.5	(0.0)
olv4*	1.0	1.0	1.0	0.5
cmv4*	0.0	0.0	0.0	0.5

standard and adapted CIELAB

LAB*LAB	47.72	0.0	0.0
LAB*LABa	47.72	0.0	0.0
LAB*TCha	50.0	0.01	-

relative CIELAB lab*

lab*lab	0.5	0.0	0.0
lab*nch	0.5	0.0	-
lab*tch	0.5	0.0	-

relative Natural Colour (NC)

lab*ljr	0.5	0.0	0.0
lab*tce	0.5	0.0	-
lab*nce	0.5	0.0	-

relative Inform. Technology (IT)

obv3*	0.25	0.75	0.75	(1.0)
cmv3*	0.75	0.25	0.25	(0.0)
olv4*	0.5	1.0	1.0	0.75
cmv4*	0.5	0.0	0.0	0.25

standard and adapted CIELAB

LAB*LAB	63.04	-41.34	-11.37
LAB*LABa	63.04	-41.34	-11.37
LAB*TCha	50.0	42.89	195.38

relative CIELAB lab*

lab*lab	0.911	-0.481	-0.132
lab*nch	0.5	0.5	0.543
lab*tch	0.0	0.5	0.543

relative Natural Colour (NC)

lab*ljr	0.911	-0.452	-0.211
lab*tce	0.625	0.25	0.57
lab*nce	0.0	0.5	0.276

relative Inform. Technology (IT)

obv3*	0.25	0.25	0.25	(1.0)
cmv3*	0.75	0.75	0.75	(0.0)
olv4*	1.0	1.0	1.0	0.25
cmv4*	0.0	0.0	0.0	0.75

standard and adapted CIELAB

LAB*LAB	23.87	0.0	0.0
LAB*LABa	23.87	0.0	0.0
LAB*TCha	25.0	0.01	-

relative CIELAB lab*

lab*lab	0.25	0.0	0.0
lab*nch	0.25	0.0	-
lab*tch	0.25	0.0	-

relative Natural Colour (NC)

lab*ljr	0.25	0.0	0.0
lab*tce	0.25	0.0	-
lab*nce	0.75	0.0	-

relative Inform. Technology (IT)

obv3*	0.25	0.75	0.75	(1.0)
cmv3*	1.0	0.5	0.5	(0.0)
olv4*	0.5	1.0	1.0	0.5
cmv4*	0.5	0.0	0.0	0.5

standard and adapted CIELAB

LAB*LAB	39.19	-41.33	-11.36
LAB*LABa	39.19	-41.33	-11.36
LAB*TCha	25.01	42.88	195.38

relative CIELAB lab*

lab*lab	0.616	-0.481	-0.132
lab*nch	0.375	0.5	0.543
lab*tch	0.0	0.5	0.543

relative Natural Colour (NC)

lab*ljr	0.616	-0.452	-0.211
lab*tce	0.375	0.5	0.57
lab*nce	0.25	0.5	0.276

relative Inform. Technology (IT)

obv3*	0.0	0.0	0.0	(1.0)
cmv3*	1.0	1.0	1.0	(0.0)
olv4*	1.0	1.0	1.0	0.0
cmv4*	0.0	0.0	0.0	1.0

standard and adapted CIELAB

LAB*LAB	0.03	0.0	0.0
LAB*LABa	0.03	0.0	0.0
LAB*TCha	0.0	0.01	-

relative CIELAB lab*

lab*lab	0.0	0.0	0.0
lab*nch	0.0	0.0	-
lab*tch	0.0	0.0	-

relative Natural Colour (NC)

lab*ljr	0.0	0.0	0.0
lab*tce	0.0	0.0	-
lab*nce	1.0	0.0	-

relative Inform. Technology (IT)

obv3*	0.0	0.5	0.5	(1.0)
cmv3*	1.0	0.5	0.5	(0.0)
olv4*	0.5	1.0	1.0	0.5
cmv4*	0.5	0.0	0.0	0.5

standard and adapted CIELAB

LAB*LAB	39.19	-41.33	-11.36
LAB*LABa	39.19	-41.33	-11.36
LAB*TCha	25.01	42.88	195.38

relative CIELAB lab*

lab*lab	0.411	-0.481	-0.132
lab*nch	0.25	0.5	0.543
lab*tch	0.0	0.5	0.543

relative Natural Colour (NC)

lab*ljr	0.411	-0.452	-0.211
lab*tce	0.25	0.5	0.57
lab*nce	0.5	0.5	0.276

relative Inform. Technology (IT)

obv3*	0.0	0.0	0.0	(1.0)
cmv3*	1.0	0.75	0.75	(0.0)
olv4*	1.0	1.0	1.0	0.75
cmv4*	0.0	0.0	0.0	0.25

standard and adapted CIELAB

LAB*LAB	19.6	-20.66	-5.68
LAB*LABa	19.6	-20.66	-5.68
LAB*TCha	12.5	21.43	195.38

relative CIELAB lab*

lab*lab	0.205	-0.24	-0.065
lab*nch	0.125	0.25	0.543
lab*tch	0.0	0.25	0.543

relative Natural Colour (NC)

lab*ljr	0.205	-0.225	-0.105
lab*tce	0.125	0.25	0.57
lab*nce	0.75	0.25	0.276

relative Inform. Technology (IT)

obv3*	0.0	0.75	0.75	(1.0)
cmv3*	1.0	0.25	0.25	(0.0)
olv4*	0.5	1.0	1.0	0.25
cmv4*	0.5	0.0	0.0	0.75

standard and adapted CIELAB

LAB*LAB	19.6	-20.66	-5.68
LAB*LABa	19.6	-20.66	-5.68
LAB*TCha	12.5	21.43	195.38

relative CIELAB lab*

lab*lab	0.411	-0.481	-0.132
lab*nch	0.25	0.5	0.543
lab*tch	0.0	0.5	0.543

relative Natural Colour (NC)

lab*ljr	0.411	-0.452	-0.211
lab*tce	0.25	0.5	0.57
lab*nce	0.5	0.5	0.276

relative Inform. Technology (IT)

obv3*	0.0	0.0	0.0	(1.0)
cmv3*	1.0	1.0	1.0	(0.0)
olv4*	1.0	1.0	1.0	0.0
cmv4*	0.0	0.0	0.0	1.0

standard and adapted CIELAB

LAB*LAB	0.03	0.0	0.0
LAB*LABa	0.03	0.0	0.0
LAB*TCha	0.0	0.01	-

relative CIELAB lab*

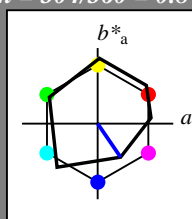
lab*lab	0.0
---------	-----

Eingabe: Farbmetrisches Offset-Reflektiv-System ORS18

für Buntton $h^* = lab^*h = 304/360 = 0.845$
 lab^*tch und lab^*nch

A: Buntton V
 LCH*Ma: 26 54 304
 olv*Ma: 0.0 0.0 1.0

Dreiecks-Helligkeit



ORS18; adaptierte CIELAB-Daten

	$L^* = L^*_a$	a^*_a	b^*_a	$C^*_{ab,a}$	$h^*_{ab,a}$
O _{Ma}	47.94	64.42	50.58	81.9	38
Y _{Ma}	92.62	2.41	86.36	86.39	88
L _{Ma}	50.9	-63.82	35.02	72.81	151
C _{Ma}	51.25	-53.68	-57.69	78.82	227
V _{Ma}	25.72	30.34	-44.37	53.76	304
M _{Ma}	56.25	70.59	7.57	70.99	6
N _{Ma}	18.11	0.0	0.0	0.0	0
W _{Ma}	95.6	0.0	0.0	0.0	0
R _{CIE}	47.79	60.85	41.08	73.41	34
J _{CIE}	83.82	6.52	66.9	67.22	84
G _{CIE}	49.0	-36.83	2.78	36.95	176
B _{CIE}	25.14	-18.35	-56.22	59.15	252

%Regularität

$g^*_{H,rel} = -385$

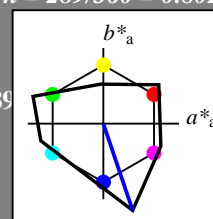
$g^*_{C,rel} = 62$

Ausgabe: Farbmetrisches Fernseh-Licht-System TLS00

für Buntton $h^* = lab^*h = 289/360 = 0.802$
 lab^*tch und lab^*nch

A: Buntton V
 LCH*Ma: 13 121 289
 olv*Ma: 0.0 0.0 1.0

Dreiecks-Helligkeit



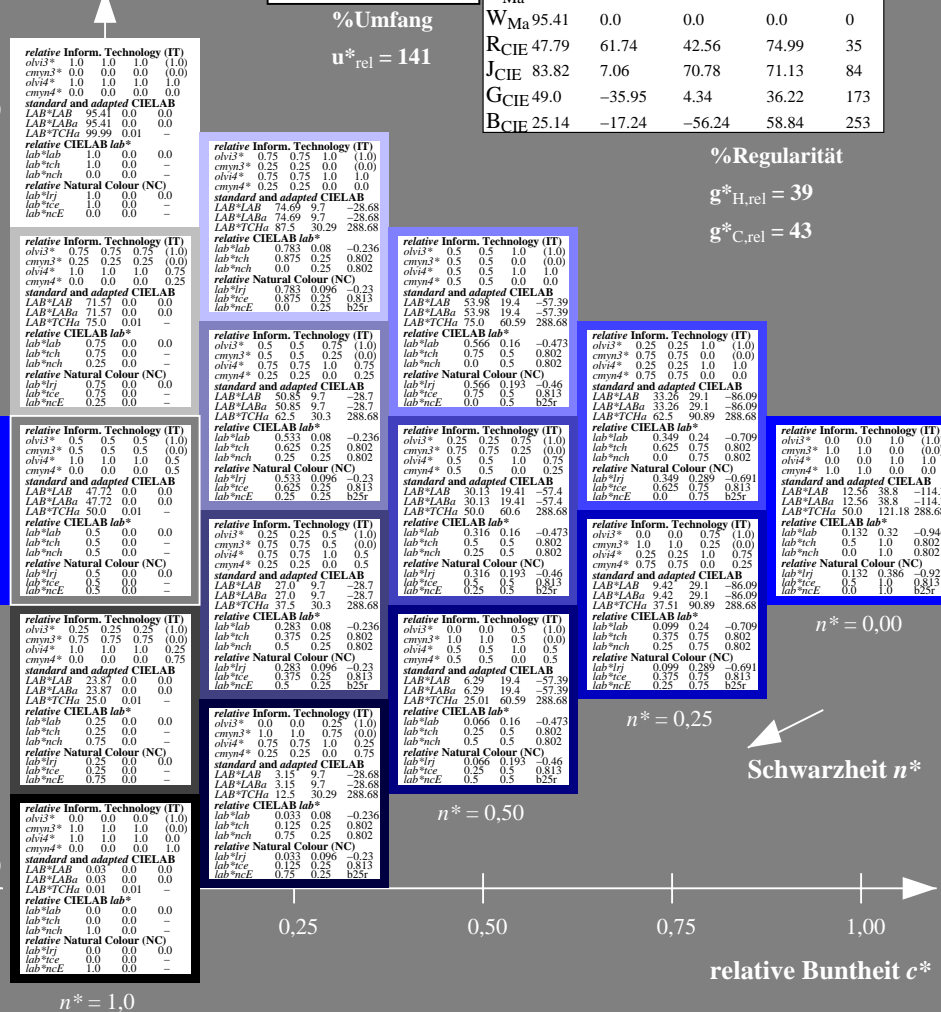
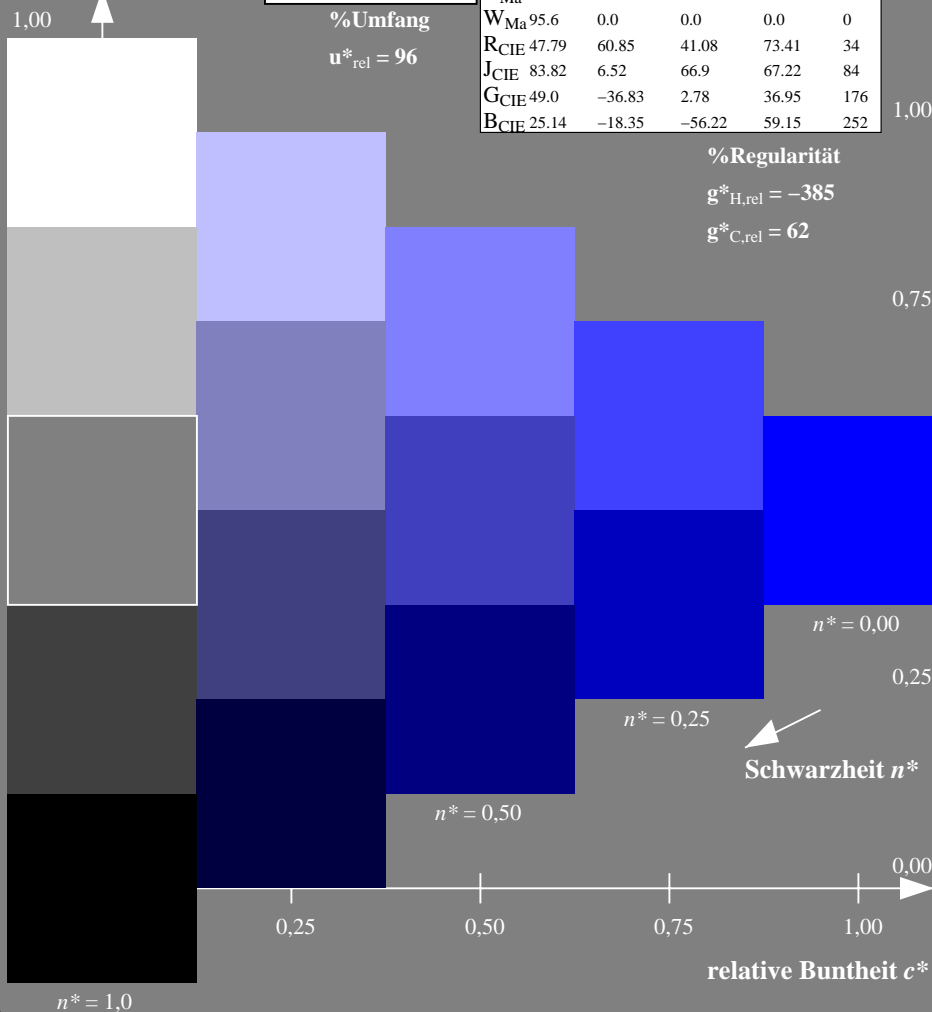
TLS00; adaptierte CIELAB-Daten

	$L^* = L^*_a$	a^*_a	b^*_a	$C^*_{ab,a}$	$h^*_{ab,a}$
O _{Ma}	65.56	73.34	51.39	89.55	35
Y _{Ma}	94.78	-3.49	52.24	52.36	94
L _{Ma}	77.48	-92.97	36.0	99.71	159
C _{Ma}	78.36	-82.69	-22.74	85.77	195
V _{Ma}	12.55	38.81	-114.81	121.2	289
M _{Ma}	66.71	76.08	-29.8	81.71	339
N _{Ma}	0.01	0.0	0.0	0.0	0
W _{Ma}	95.41	0.0	0.0	0.0	0
R _{CIE}	47.79	61.74	42.56	74.99	35
J _{CIE}	83.82	7.06	70.78	71.13	84
G _{CIE}	49.0	-35.95	4.34	36.22	173
B _{CIE}	25.14	-17.24	-56.24	58.84	253

%Regularität

$g^*_{H,rel} = 39$

$g^*_{C,rel} = 43$



RG400-7, 5stufige Reihen für konstanten CIELAB Buntton 304/360 = 0.845 (links)

5 stufige Reihen für konstanten CIELAB Buntton 289/360 = 0.802 (rechts)

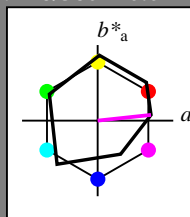
BAM-Prüfvorlage RG40; Farbmetrik-Systeme ORS18 & TLS00 input: olv* setrgbcolor

A: 5stufige Farbreihen und Koordinatendaten für 10 Bunttöne output: no change compared to input

Eingabe: Farbmatisches Offset-Reflektiv-System ORS18

für Buntton $h^* = lab^*h = 6/360 = 0.017$
 lab^*tch und lab^*nch

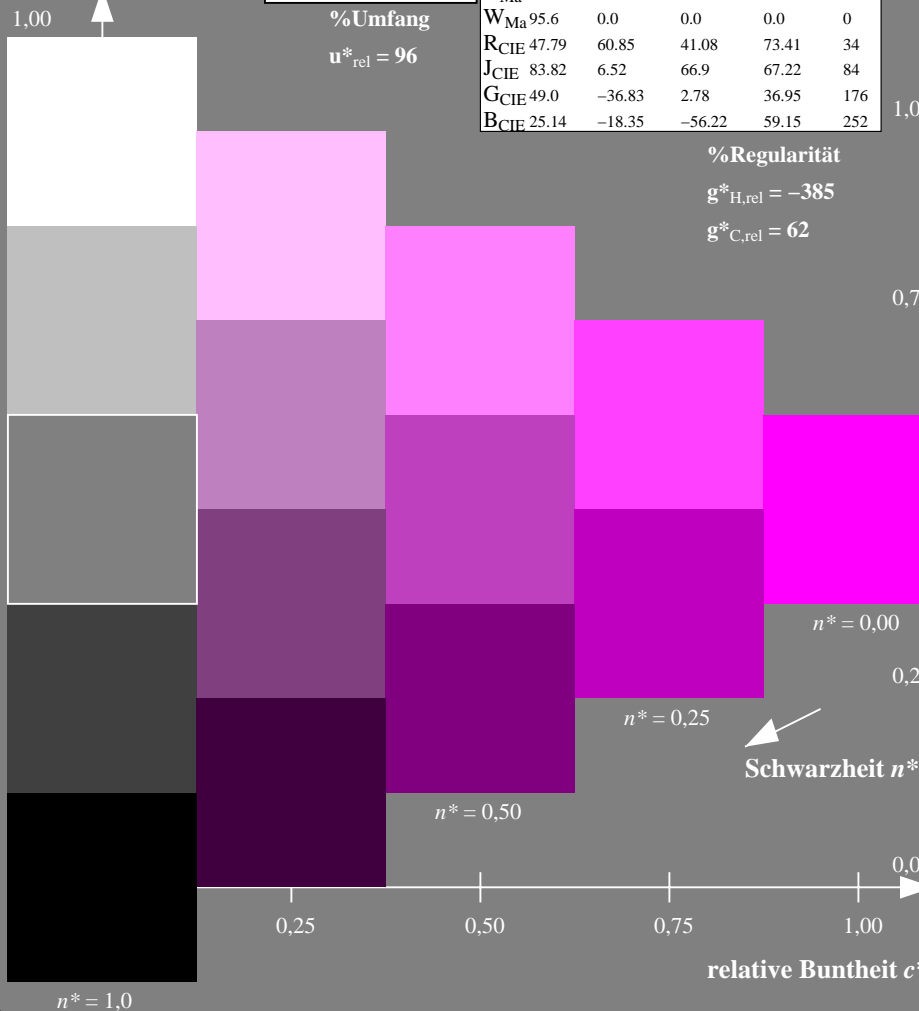
A: Buntton M
 LCH*Ma: 56 71 6
 olv*Ma: 1.0 0.0 1.0
 Dreiecks-Helligkeit



ORS18; adaptierte CIELAB-Daten

	$L^* = L^*_a$	a^*_a	b^*_a	$C^*_{ab,a}$	$h^*_{ab,a}$
O _{Ma}	47.94	64.42	50.58	81.9	38
Y _{Ma}	92.62	2.41	86.36	86.39	88
L _{Ma}	50.9	-63.82	35.02	72.81	151
C _{Ma}	51.25	-53.68	-57.69	78.82	227
V _{Ma}	25.72	30.34	-44.37	53.76	304
M _{Ma}	56.25	70.59	7.57	70.99	6
N _{Ma}	18.11	0.0	0.0	0.0	0
W _{Ma}	95.6	0.0	0.0	0.0	0
R _{CIE}	47.79	60.85	41.08	73.41	34
J _{CIE}	83.82	6.52	66.9	67.22	84
G _{CIE}	49.0	-36.83	2.78	36.95	176
B _{CIE}	25.14	-18.35	-56.22	59.15	252

%Regularität
 $g^*_{H,rel} = -385$
 $g^*_{C,rel} = 62$

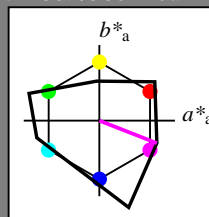


RG400-7, 5stufige Reihen für konstanten CIELAB Buntton 6/360 = 0.017 (links)

Ausgabe: Farbmatisches Fernseh-Licht-System TLS00

für Buntton $h^* = lab^*h = 339/360 = 0.941$
 lab^*tch und lab^*nch

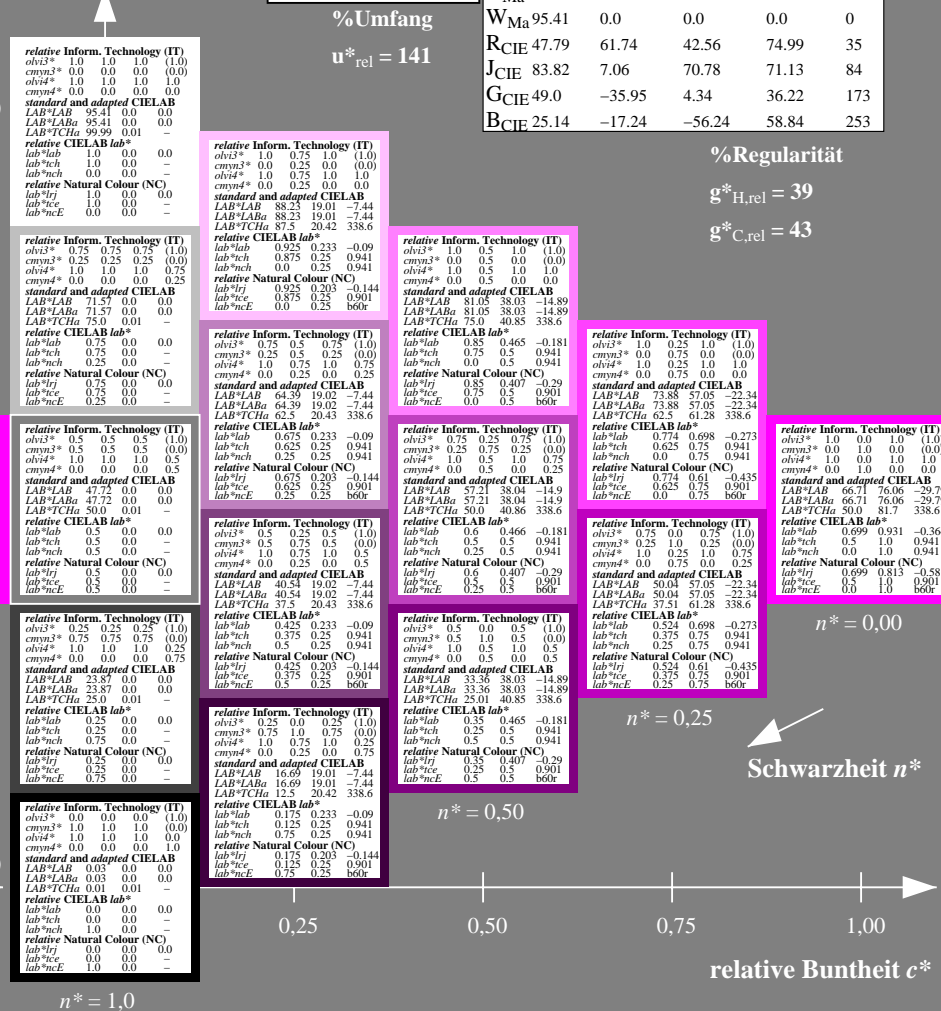
A: Buntton M
 LCH*Ma: 67 82 339
 olv*Ma: 1.0 0.0 1.0
 Dreiecks-Helligkeit



TLS00; adaptierte CIELAB-Daten

	$L^* = L^*_a$	a^*_a	b^*_a	$C^*_{ab,a}$	$h^*_{ab,a}$
O _{Ma}	65.56	73.34	51.39	89.55	35
Y _{Ma}	94.78	-3.49	52.24	52.36	94
L _{Ma}	77.48	-92.97	36.0	99.71	159
C _{Ma}	78.36	-82.69	-22.74	85.77	195
V _{Ma}	12.55	38.81	-114.81	121.2	289
M _{Ma}	66.71	76.08	-29.8	81.71	339
N _{Ma}	0.01	0.0	0.0	0.0	0
W _{Ma}	95.41	0.0	0.0	0.0	0
R _{CIE}	47.79	61.74	42.56	74.99	35
J _{CIE}	83.82	7.06	70.78	71.13	84
G _{CIE}	49.0	-35.95	4.34	36.22	173
B _{CIE}	25.14	-17.24	-56.24	58.84	253

%Regularität
 $g^*_{H,rel} = 39$
 $g^*_{C,rel} = 43$



5stufige Reihen für konstanten CIELAB Buntton 339/360 = 0.941 (rechts)

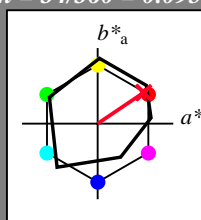
BAM-Prüfvorlage RG40; Farbmatrik-Systeme ORS18 & TLS00 input: olv* setrgbcolor

A: 5stufige Farbreihen und Koordinatendaten für 10 Bunttöne output: no change compared to input

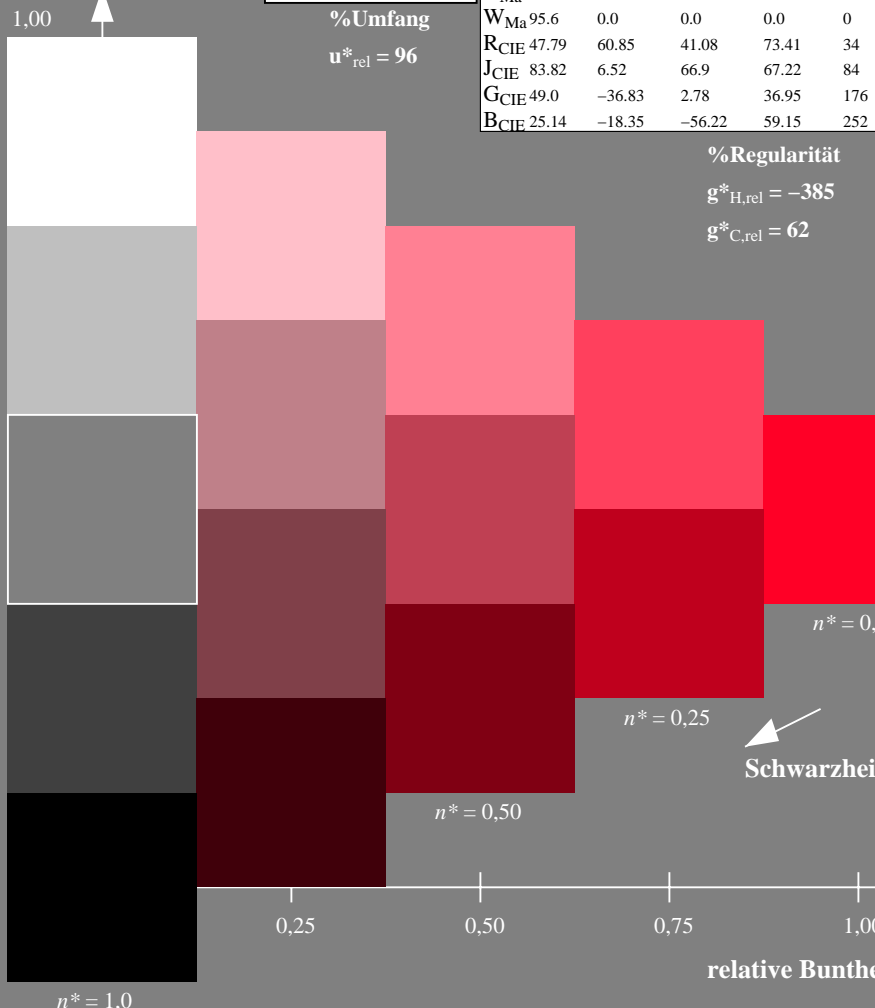
Eingabe: Farbmetrisches Offset-Reflektiv-System ORS18

für Buntton $h^* = lab^*h = 34/360 = 0.095$
 lab^*tch und lab^*nch

A: Buntton R
 LCH*Ma: 49 79 34
 olv*Ma: 1.0 0.0 0.15
 Dreiecks-Helligkeit



%Umfang
 $u^*_{rel} = 96$



ORS18; adaptierte CIELAB-Daten

	$L^* = L^*_a$	a^*_a	b^*_a	$C^*_{ab,a}$	$h^*_{ab,a}$
O _{Ma}	47.94	64.42	50.58	81.9	38
Y _{Ma}	92.62	2.41	86.36	86.39	88
L _{Ma}	50.9	-63.82	35.02	72.81	151
C _{Ma}	51.25	-53.68	-57.69	78.82	227
V _{Ma}	25.72	30.34	-44.37	53.76	304
M _{Ma}	56.25	70.59	7.57	70.99	6
N _{Ma}	18.11	0.0	0.0	0.0	0
W _{Ma}	95.6	0.0	0.0	0.0	0
R _{CIE}	47.79	60.85	41.08	73.41	34
J _{CIE}	83.82	6.52	66.9	67.22	84
G _{CIE}	49.0	-36.83	2.78	36.95	176
B _{CIE}	25.14	-18.35	-56.22	59.15	252

%Regularität

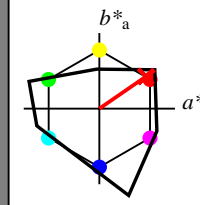
$g^*_{H,rel} = -385$

$g^*_{C,rel} = 62$

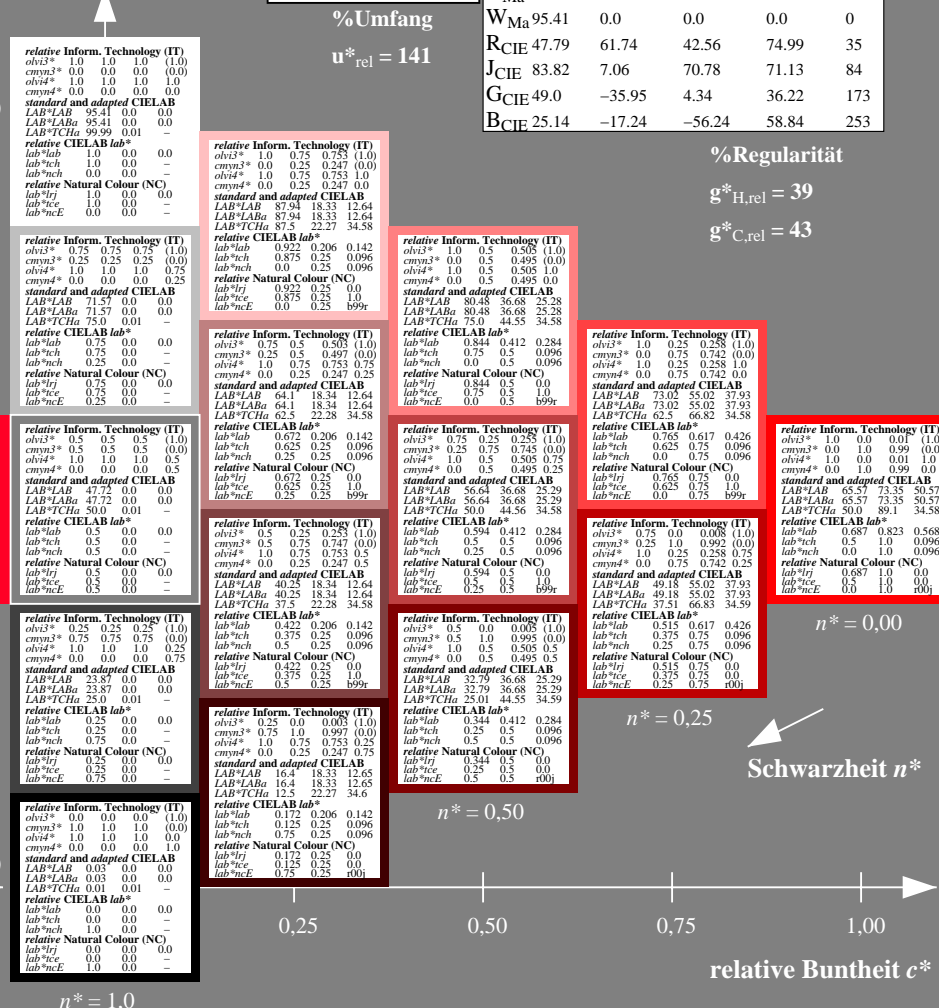
Ausgabe: Farbmetrisches Fernseh-Licht-System TLS00

für Buntton $h^* = lab^*h = 35/360 = 0.096$
 lab^*tch und lab^*nch

A: Buntton R
 LCH*Ma: 66 89 35
 olv*Ma: 1.0 0.0 0.01
 Dreiecks-Helligkeit



%Umfang
 $u^*_{rel} = 141$



TLS00; adaptierte CIELAB-Daten

	$L^* = L^*_a$	a^*_a	b^*_a	$C^*_{ab,a}$	$h^*_{ab,a}$
O _{Ma}	65.56	73.34	51.39	89.55	35
Y _{Ma}	94.78	-3.49	52.24	52.36	94
L _{Ma}	77.48	-92.97	36.0	99.71	159
C _{Ma}	78.36	-82.69	-22.74	85.77	195
V _{Ma}	12.55	38.81	-114.81	121.2	289
M _{Ma}	66.71	76.08	-29.8	81.71	339
N _{Ma}	0.01	0.0	0.0	0.0	0
W _{Ma}	95.41	0.0	0.0	0.0	0
R _{CIE}	47.79	61.74	42.56	74.99	35
J _{CIE}	83.82	7.06	70.78	71.13	84
G _{CIE}	49.0	-35.95	4.34	36.22	173
B _{CIE}	25.14	-17.24	-56.24	58.84	253

%Regularität

$g^*_{H,rel} = 39$

$g^*_{C,rel} = 43$

RG400-7, 5stufige Reihen für konstanten CIELAB Buntton 34/360 = 0.095 (links)

5stufige Reihen für konstanten CIELAB Buntton 35/360 = 0.096 (rechts)

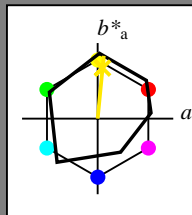
BAM-Prüfvorlage RG40; Farbmetrik-Systeme ORS18 & TLS00 input: olv* setrgbcolor

A: 5stufige Farbreihen und Koordinatendaten für 10 Bunttöne output: no change compared to input

Eingabe: Farbmetrisches Offset-Reflektiv-System ORS18
 für Buntton $h^* = lab^*h = 84/360 = 0.235$
 lab^*tch und lab^*nch

A: Buntton J
 LCH*Ma: 89 83 84
 olv*Ma: 1.0 0.91 0.0

Dreiecks-Helligkeit



ORS18; adaptierte CIELAB-Daten

	$L^* = L^*_a$	a^*_a	b^*_a	$C^*_{ab,a}$	$h^*_{ab,a}$
O _{Ma}	47.94	64.42	50.58	81.9	38
Y _{Ma}	92.62	2.41	86.36	86.39	88
L _{Ma}	50.9	-63.82	35.02	72.81	151
C _{Ma}	51.25	-53.68	-57.69	78.82	227
V _{Ma}	25.72	30.34	-44.37	53.76	304
M _{Ma}	56.25	70.59	7.57	70.99	6
N _{Ma}	18.11	0.0	0.0	0.0	0
W _{Ma}	95.6	0.0	0.0	0.0	0
R _{CIE}	47.79	60.85	41.08	73.41	34
J _{CIE}	83.82	6.52	66.9	67.22	84
G _{CIE}	49.0	-36.83	2.78	36.95	176
B _{CIE}	25.14	-18.35	-56.22	59.15	252

%Regularität

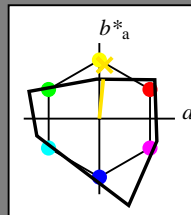
$g^*_{H,rel} = -385$

$g^*_{C,rel} = 62$

Ausgabe: Farbmetrisches Fernseh-Licht-System TLS00
 für Buntton $h^* = lab^*h = 84/360 = 0.234$
 lab^*tch und lab^*nch

A: Buntton J
 LCH*Ma: 91 52 84
 olv*Ma: 1.0 0.89 0.0

Dreiecks-Helligkeit



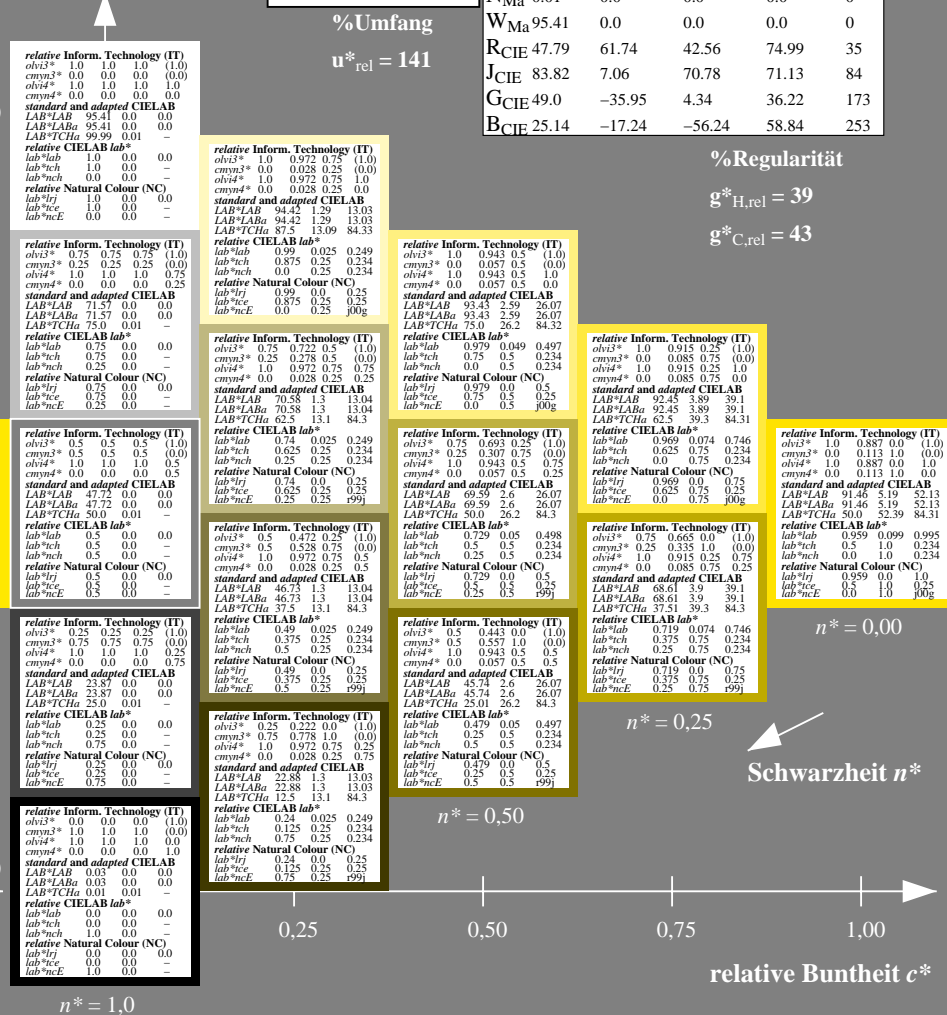
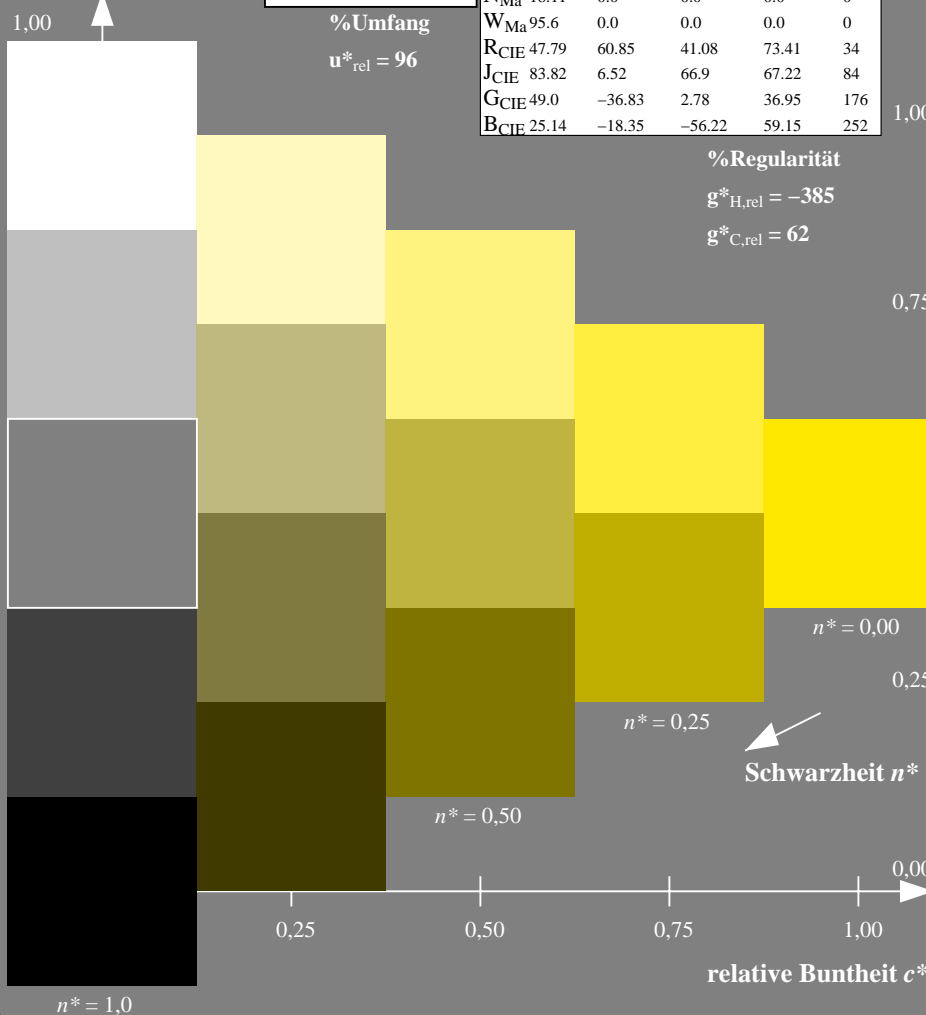
TLS00; adaptierte CIELAB-Daten

	$L^* = L^*_a$	a^*_a	b^*_a	$C^*_{ab,a}$	$h^*_{ab,a}$
O _{Ma}	65.56	73.34	51.39	89.55	35
Y _{Ma}	94.78	-3.49	52.24	52.36	94
L _{Ma}	77.48	-92.97	36.0	93.71	159
C _{Ma}	78.36	-82.69	-22.74	85.77	195
V _{Ma}	12.55	38.81	-114.81	121.2	289
M _{Ma}	66.71	76.08	-29.8	81.71	339
N _{Ma}	0.01	0.0	0.0	0.0	0
W _{Ma}	95.41	0.0	0.0	0.0	0
R _{CIE}	47.79	61.74	42.56	74.99	35
J _{CIE}	83.82	7.06	70.78	71.13	84
G _{CIE}	49.0	-35.95	4.34	36.22	173
B _{CIE}	25.14	-17.24	-56.24	58.84	253

%Regularität

$g^*_{H,rel} = 39$

$g^*_{C,rel} = 43$



RG400-7, 5stufige Reihen für konstanten CIELAB Buntton 84/360 = 0.235 (links)

5 stufige Reihen für konstanten CIELAB Buntton 84/360 = 0.234 (rechts)

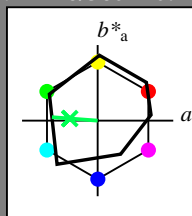
BAM-Prüfvorlage RG40; Farbmetrik-Systeme ORS18 & TLS00 input: olv* setrgbcolor

A: 5stufige Farbreihen und Koordinatendaten für 10 Bunttöne output: no change compared to input

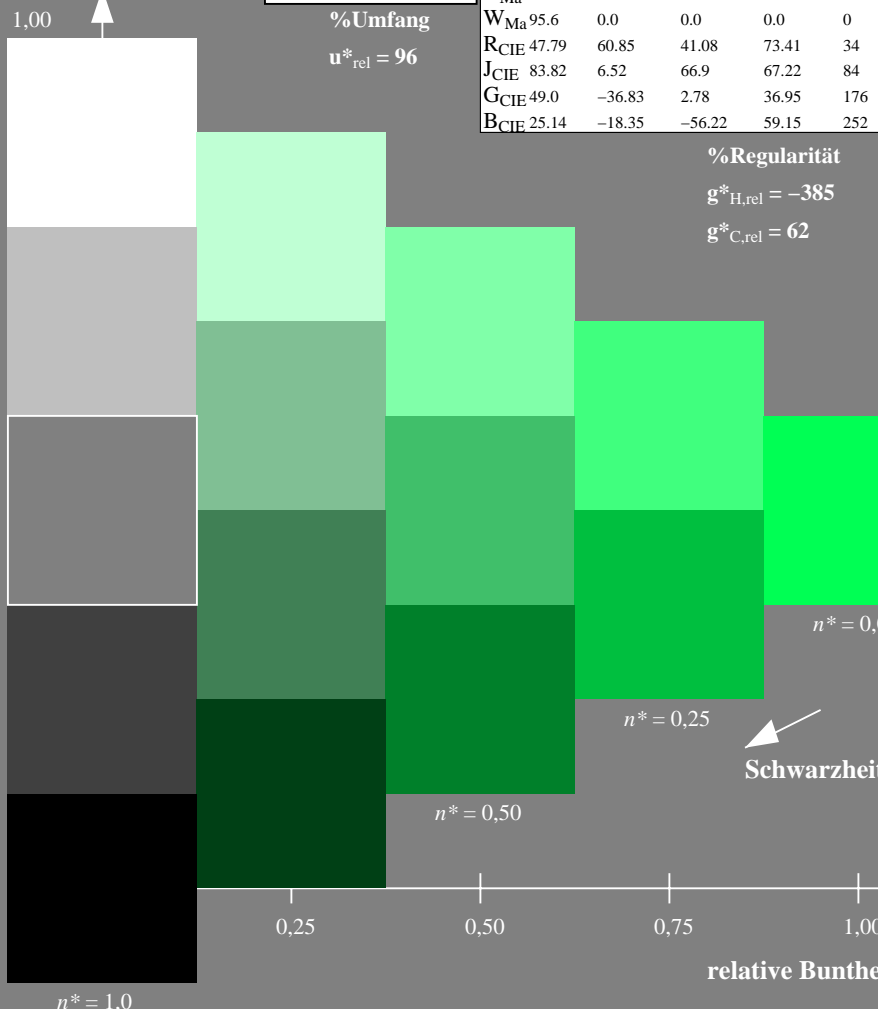
Eingabe: Farbmetrisches Offset-Reflektiv-System ORS18

für Buntton $h^* = lab^*h = 176/360 = 0.488$
 lab^*tch und lab^*nch

A: Buntton G
 LCH*Ma: 51 61 176
 olv*Ma: 0.0 1.0 0.33
 Dreiecks-Helligkeit



%Umfang
 $u^*_{rel} = 96$

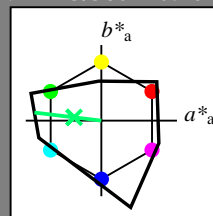


RG400-7, 5stufige Reihen für konstanten CIELAB Buntton 176/360 = 0.488 (links)

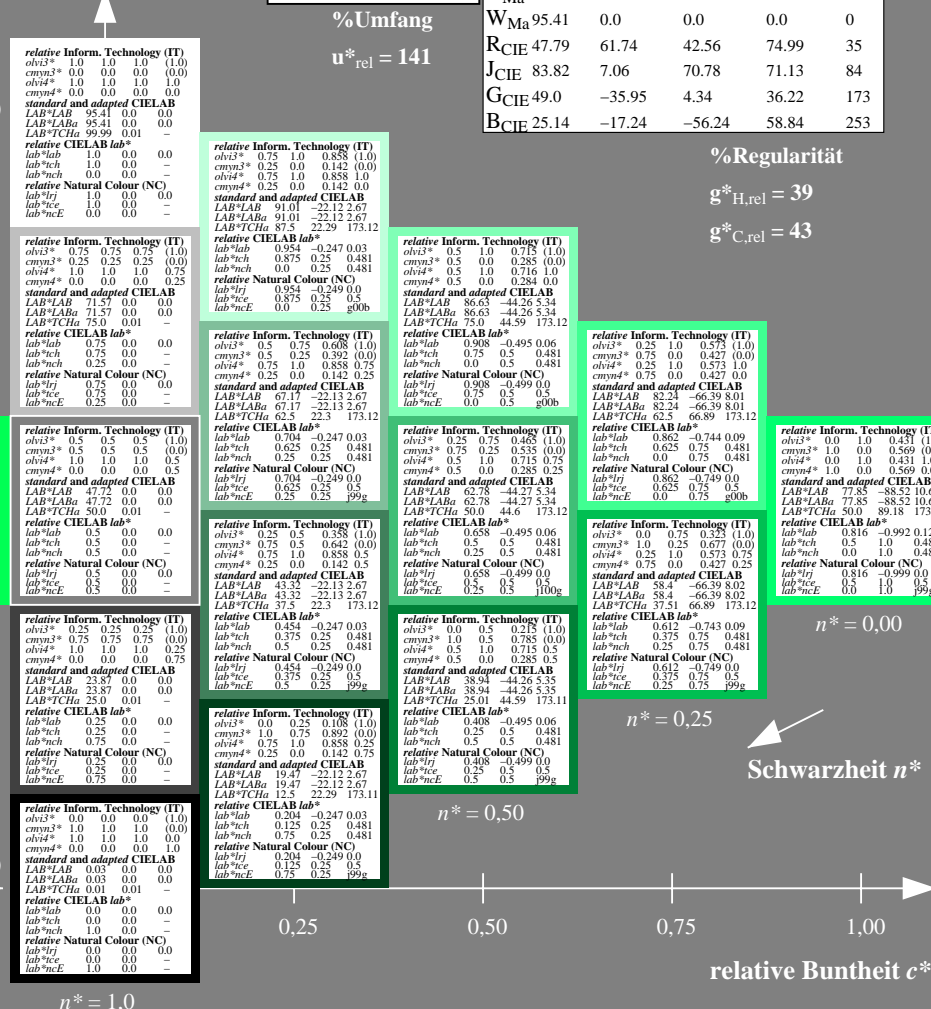
Ausgabe: Farbmetrisches Fernseh-Licht-System TLS00

für Buntton $h^* = lab^*h = 173/360 = 0.481$
 lab^*tch und lab^*nch

A: Buntton G
 LCH*Ma: 78 89 173
 olv*Ma: 0.0 1.0 0.43
 Dreiecks-Helligkeit



%Umfang
 $u^*_{rel} = 141$



5stufige Reihen für konstanten CIELAB Buntton 173/360 = 0.481 (rechts)

ORS18; adaptierte CIELAB-Daten

	$L^* = L^*_a$	a^*_a	b^*_a	$C^*_{ab,a}$	$h^*_{ab,a}$
O _{Ma}	47.94	64.42	50.58	81.9	38
Y _{Ma}	92.62	2.41	86.36	86.39	88
L _{Ma}	50.9	-63.82	35.02	72.81	151
C _{Ma}	51.25	-53.68	-57.69	78.82	227
V _{Ma}	25.72	30.34	-44.37	53.76	304
M _{Ma}	56.25	70.59	7.57	70.99	6
N _{Ma}	18.11	0.0	0.0	0.0	0
W _{Ma}	95.6	0.0	0.0	0.0	0
R _{CIE}	47.79	60.85	41.08	73.41	34
J _{CIE}	83.82	6.52	66.9	67.22	84
G _{CIE}	49.0	-36.83	2.78	36.95	176
B _{CIE}	25.14	-18.35	-56.22	59.15	252

%Regularität
 $g^*_{H,rel} = -385$
 $g^*_{C,rel} = 62$

TLS00; adaptierte CIELAB-Daten

	$L^* = L^*_a$	a^*_a	b^*_a	$C^*_{ab,a}$	$h^*_{ab,a}$
O _{Ma}	65.56	73.34	51.39	89.55	35
Y _{Ma}	94.78	-3.49	52.24	52.36	94
L _{Ma}	74.48	-92.97	36.0	99.71	159
C _{Ma}	78.36	-82.69	-22.74	85.77	195
V _{Ma}	12.55	38.81	-114.81	121.2	289
M _{Ma}	66.71	76.08	-29.8	81.71	339
N _{Ma}	0.01	0.0	0.0	0.0	0
W _{Ma}	95.41	0.0	0.0	0.0	0
R _{CIE}	47.79	61.74	42.56	74.99	35
J _{CIE}	83.82	7.06	70.78	71.13	84
G _{CIE}	49.0	-35.95	4.34	36.22	173
B _{CIE}	25.14	-17.24	-56.24	58.84	253

%Regularität
 $g^*_{H,rel} = 39$
 $g^*_{C,rel} = 43$

Siehe ähnliche Dateien: <http://www.ps.bam.de/RG40/>
 Technische Information: <http://www.ps.bam.de/Version 2.1, io=1,1>

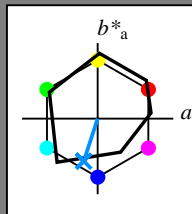
BAM-Registrierung: 20060101-RG40/10L/L40G08NP.PS/.PDF BAM-Material: Code=thata
 Anwendung für Beurteilung und Messung von Drucker- oder Monitorssystemen

Eingabe: Farbmetrisches Offset-Reflektiv-System ORS18

für Buntton $h^* = lab^*h = 252/360 = 0.7$
 lab^*tch und lab^*nch

A: Buntton B
 LCH*Ma: 40 55 252
 olv*Ma: 0.0 0.56 1.0

Dreiecks-Helligkeit



ORS18; adaptierte CIELAB-Daten

	$L^* = L^*_a$	a^*_a	b^*_a	$C^*_{ab,a}$	$h^*_{ab,a}$
O _{Ma}	47.94	64.42	50.58	81.9	38
Y _{Ma}	92.62	2.41	86.36	86.39	88
L _{Ma}	50.9	-63.82	35.02	72.81	151
C _{Ma}	51.25	-53.68	-57.69	78.82	227
V _{Ma}	25.72	30.34	-44.37	53.76	304
M _{Ma}	56.25	70.59	7.57	70.99	6
N _{Ma}	18.11	0.0	0.0	0.0	0
W _{Ma}	95.6	0.0	0.0	0.0	0
R _{CIE}	47.79	60.85	41.08	73.41	34
J _{CIE}	83.82	6.52	66.9	67.22	84
G _{CIE}	49.0	-36.83	2.78	36.95	176
B _{CIE}	25.14	-18.35	-56.22	59.15	252

%Regularität

$g^*_{H,rel} = -385$

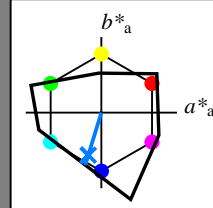
$g^*_{C,rel} = 62$

Ausgabe: Farbmetrisches Fernseh-Licht-System TLS00

für Buntton $h^* = lab^*h = 253/360 = 0.703$
 lab^*tch und lab^*nch

A: Buntton B
 LCH*Ma: 45 72 253
 olv*Ma: 0.0 0.49 1.0

Dreiecks-Helligkeit



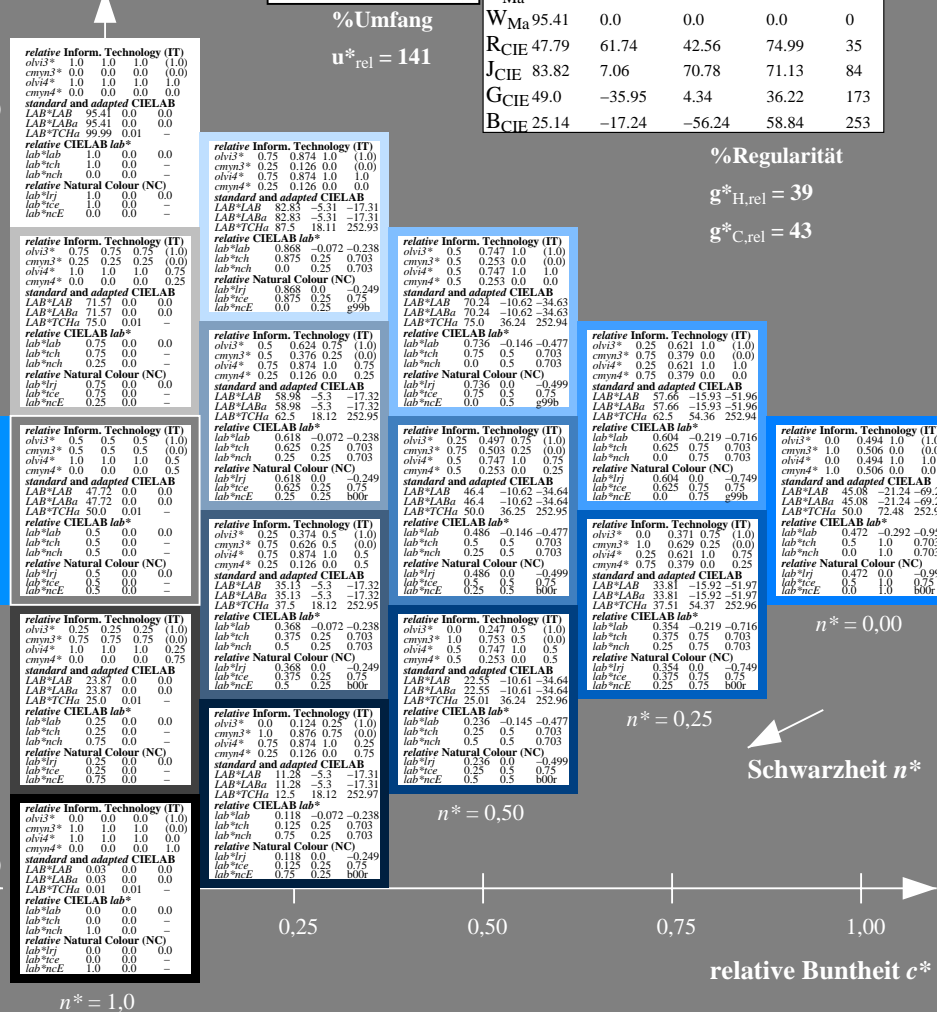
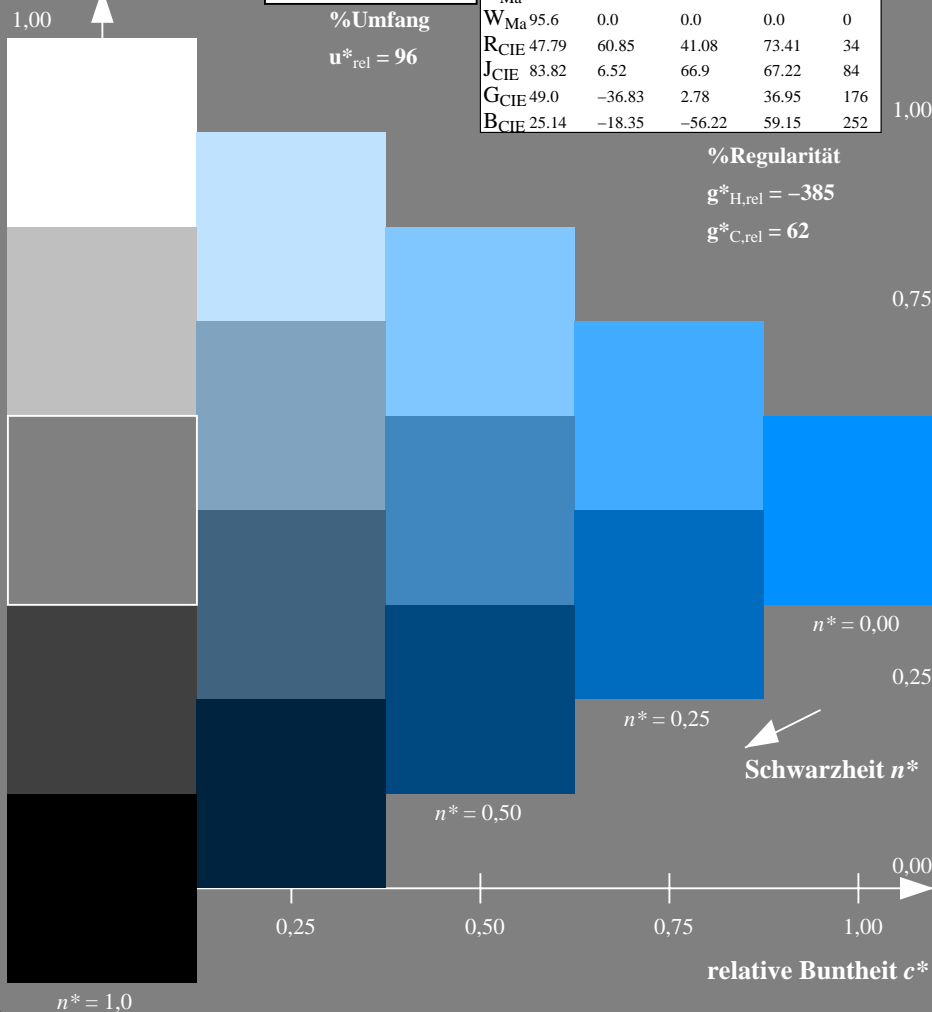
TLS00; adaptierte CIELAB-Daten

	$L^* = L^*_a$	a^*_a	b^*_a	$C^*_{ab,a}$	$h^*_{ab,a}$
O _{Ma}	65.56	73.34	51.39	89.55	35
Y _{Ma}	94.78	-3.49	52.24	52.36	94
L _{Ma}	77.48	-92.97	36.0	99.71	159
C _{Ma}	78.36	-82.69	-22.74	85.77	195
V _{Ma}	12.55	38.81	-114.81	121.2	289
M _{Ma}	66.71	76.08	-29.8	81.71	339
N _{Ma}	0.01	0.0	0.0	0.0	0
W _{Ma}	95.41	0.0	0.0	0.0	0
R _{CIE}	47.79	61.74	42.56	74.99	35
J _{CIE}	83.82	7.06	70.78	71.13	84
G _{CIE}	49.0	-35.95	4.34	36.22	173
B _{CIE}	25.14	-17.24	-56.24	58.84	253

%Regularität

$g^*_{H,rel} = 39$

$g^*_{C,rel} = 43$



RG400-7, 5stufige Reihen für konstanten CIELAB Buntton 252/360 = 0.7 (links)

5 stufige Reihen für konstanten CIELAB Buntton 253/360 = 0.703 (rechts)

BAM-Prüfvorlage RG40; Farbmetrik-Systeme ORS18 & TLS00 input: olv* setrgbcolor

A: 5stufige Farbreihen und Koordinatendaten für 10 Bunttöne output: no change compared to input

Siehe ähnliche Dateien: <http://www.ps.bam.de/RG40/>
 Technische Information: <http://www.ps.bam.de/Version 2.1, io=1,1>

BAM-Registrierung: 20060101-RG40/10L/L40G09NP.PS/.PDF BAM-Material: Code=thata
 Anwendung für Beurteilung und Messung von Drucker- oder Monitorsystemen
 /RG40/ Form 10/05Ser: 1/1, Seite: 10
 Scherzhang 10